

تحلیل سینماتیکی مکانیزمهای شناور بدون استفاده از نقطه کمکی

حسن ظهور

دانشیار دانشکده مهندسی مکانیک دانشگاه صنعتی شریف

مجید آل یاسین

مرئی بخش مهندسی مکانیک دانشگاه فردوسی (مشهد) و
دانشجوی دوره دکترای مهندسی مکانیک، دانشگاه صنعتی شریف

چکیده:

مکانیزمهای شناور از مدتها قبل با استفاده از نقطه کمکی مورد تجزیه و تحلیل سینماتیکی قرار می‌گرفته است. در این مقاله تجزیه و تحلیل سینماتیکی این مکانیزمها با روش نوین بدون استفاده از نقطه کمکی مورد بحث قرار می‌گیرد. سرعت و شتاب کلیه نقاط مورد نیاز در مکانیزم نمونه با استفاده از این روش تعیین خواهد شد.

Kinematic Analysis of Floating Linkages Without Using Auxiliary Points

H. Zohoor

Associate Professor of Mechanical Engineering,
Sharif University of Technology

M. Aleyaasin

PH.D. Student of Mechanical Engineering,
Sharif University of Technology

Abstract

Since many years ago, floating linkages have been kinematically analyzed by using auxiliary points. In this original manuscript, an innovative method has been used to kinematically analyze these types of mechanisms without using an auxiliary point. At the end of the manuscript, velocities and accelerations of all joints of two sample linkages have been obtained, through this method.

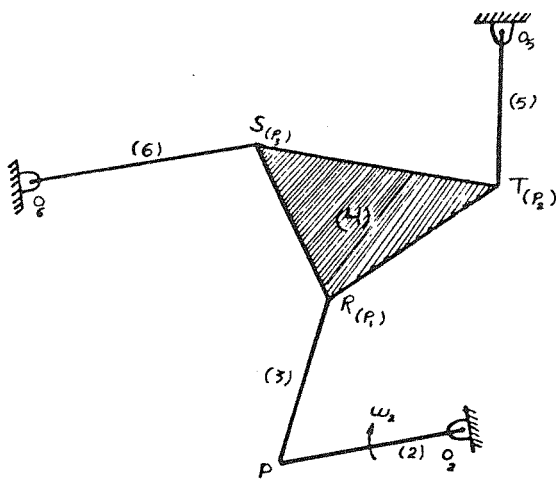
(۱) مقدمه:

اعضاء ورودی به راحتی میسر نیست و هر نوع رابطه بُرداری که بین لولا و یا لولاهای ورودی و لولا یا لولاهای خروجی نوشته شود دارای بیش از دو مجهول است و در نتیجه آن رابطه

مکانیزمهای شناور از آن دسته مکانیزمهای با یک درجه آزادی هستند که بدست آوردن سرعت و شتاب اعضاء خروجی آنها با نوشتن یک رابطه بر حسب سرعت و شتاب

۲-۲ - دسته دوم:

این دسته شامل مکانیزمهایی است که راستاهای دو سرعت خروجی از عضو شناور و مکان هندسی انتهای بُردار سرعت نقطه ورودی به عضو شناور مشخص است. یکی از این نوع مکانیزمها در شکل ۲ نشان داده شده است. در این مکانیزم راستای سرعتهای نقاط خروجی S و T به ترتیب عمود بر خطوط O_1S و O_1T بوده و انتهای سرعت نقطه ورودی R بر روی خط عمود بر PR که از رأس سرعت \vec{V}_P ترسیم می شود قرار دارد.



شکل ۲

۳-۳) ترسیم نمودارهای سرعت و شتاب

۱-۳ - ترسیم نمودار سرعت مکانیزمهای دسته اول:

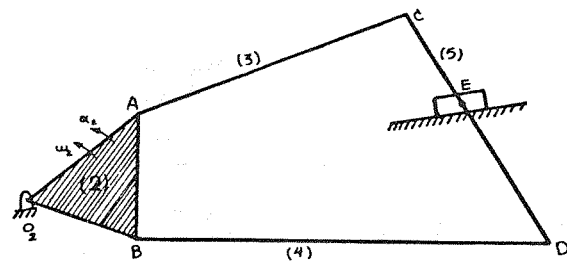
چهار راستای Δ_1 ، Δ_2 ، Δ_3 و Δ_4 را که به ترتیب عمود بر خطوط AC، BD و CD و در راستای حرکت لغزنده هستند در اختیار داریم. با توجه به اینکه انتهای سرعتهای \vec{V}_C و \vec{V}_D باید بر روی Δ_1 و Δ_2 قرار داشته باشند، و از طرفی Δ_2 نیز در امتداد حرکت لغزنده است، لازم است Δ در محل تقاطع خود با سه امتداد Δ_1 ، Δ_2 و Δ_3 به نسبت EC قطع گردد، لذا باید خطی به موازات Δ چنان رسم کنیم که خطوط Δ_1 ، Δ_2 و Δ_3 را به نسبت CE/ED قطع نماید. حل هندسی این مسأله در ضمیمه شماره ۱ ارائه شده است. در مکانیزم شکل ۱ عضو CED شناور است و نقاط C، E و D محل لولاها هستند. برای نقطه C چون سرعت مطلق نقطه A مشخص است و سرعت نسبی \vec{V}_{CA} دارای امتداد عمود بر CA می باشد، بنابراین Δ_1 مکان هندسی

قابل حل نیست. اگر به کتب موجود [۳] و [۲] و [۱] مراجعه شود، ملاحظه می گردد که تحلیل سینماتیکی این نوع مکانیزمها با استفاده از نقطه کمکی صورت گرفته است. نقطه کمکی یک نقطه متعلق به عضو شناور است که اگر روابط سرعت و شتاب در مورد آن نقطه نسبت به مقادیر داده شده ورودی نوشته شود، معادلات دو مجهولی حاصل می شود و لذا قابل حل می باشد. پیدا کردن این نقطه کمکی با توجه به شکل مکانیزم برای فردی که آشنایی چندانی با این مکانیزمها ندارد کار خیلی ساده ای نیست، لذا این متد نوین ارائه می گردد تا در صورتی که تحلیلگر ترجیح بدهد از این روش که نیازی به نقطه کمکی ندارد، برای تحلیل مکانیزم شناور استفاده نماید. استفاده از این روش نیاز به مقداری زمینه قبلی در هندسه مسطحه دارد که موارد لزوم در این مقاله شرح داده شده است.

۲) شرح کلی روش تحلیل سینماتیکی مکانیزمهای شناور

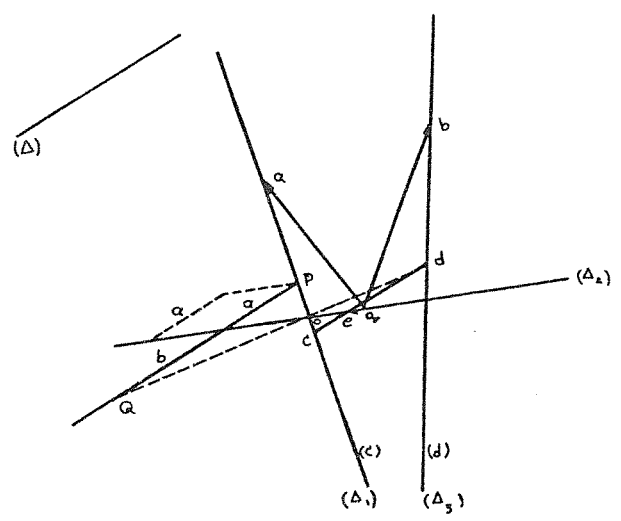
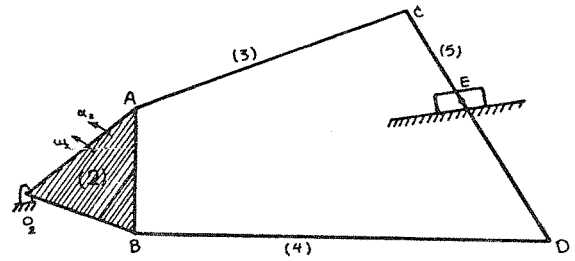
۱-۲ - دسته اول:

این دسته شامل مکانیزمهایی است که مکان هندسی انتهای دو بُردار سرعت مفصلهای ورودی به عضو شناور و همچنین راستای سرعت خروجی از عضو شناور مشخص است. یکی از این مکانیزمها در شکل ۱ نشان داده شده است. در این مکانیزم انتهای دو سرعت ورودی به عضو شناور مربوط به نقاط C و D بر روی خطوطی که به ترتیب بر AC و BD عمودند و از رئوس سرعتهای \vec{V}_A و \vec{V}_B ترسیم می شوند قرار دارند. و همچنین راستای سرعت خروجی از عضو شناور مربوط به نقطه E در امتداد حرکت لغزنده عضو ۶ قرار دارد. شایان ذکر است که راستای سرعتهای \vec{V}_{CE} و \vec{V}_{DE} نیز معلوم و عمود بر CD است.



شکل ۱

انتهای بُردار سرعت نقطه C است. برای نقطه D، چون سرعت مطلق نقطه B معلوم است و امتداد سرعت نسبی \vec{V}_{DB} نیز عمود بر DB می‌باشد، بنابراین D مکان هندسی انتهای بُردار سرعت مطلق نقطه D است. در مورد نقطه E، مکان هندسی بُردار سرعت مطلق نقطه E در امتداد حرکت پیستون خط Δ_2 است. پس می‌توان گفت: در هر مکانیزم شناورامتدادهای Δ_1 ، Δ_2 و Δ_3 مکان هندسی انتهای بُردار سرعت مطلق مفصلهای متصل به عضوهای دیگر می‌باشند و امتداد Δ نیز عمود بر عضو شناور است. در واقع Δ موازی امتداد سرعتهای نسبی مفصلهای روی عضو شناور (E، C و D) است. مطابق شکل ۳، در ترسیم و نمودار ابتدا Δ_1 ، Δ_2 و Δ_3 مشخص است. با عملیات هندسی روی نمودار، مطابق آنچه در ضمیمه شماره ۱ آمده است، نقاط c و e و d بدست آمده‌اند و نسبت $CE/ED = a/b$ در نظر گرفته شده است. با یافتن نقاط e، c و d مسأله، دیاگرام سرعت تکمیل شده است. همانطوری که ملاحظه می‌گردد، از نقطه کمکی در اینجا استفاده نشده و مسأله به روش مستقیم هندسی حل شده است. در شکل ۳ داریم:



شکل ۳

$$\vec{v}_B + \vec{v}_{DB} = \vec{v}_D \quad \text{یا} \quad \vec{v}_B + \vec{b}d = \vec{v}_D$$

$$\vec{v}_A + \vec{v}_{CA} = \vec{v}_C \quad \text{یا} \quad \vec{v}_A + \vec{a}c = \vec{v}_C$$

$$\vec{v}_E + \vec{v}_{CE} = \vec{v}_C \quad \text{یا} \quad \vec{v}_E + \vec{e}c = \vec{v}_C$$

$$\vec{v}_E + \vec{v}_{DE} = \vec{v}_D \quad \text{یا} \quad \vec{v}_E + \vec{e}d = \vec{v}_D$$

که بعد از بسته شدن روابط بُرداری $\vec{v}_1, \vec{v}_2, \vec{v}_3, \vec{v}_4, \vec{v}_5$ بدست می‌آید.

۳-۲ - ترسیم نمودار شتاب مکانیزمهای دسته اول:

راستای بُردار شتابهای مماسی a'_{BD} و a'_{AC} به ترتیب بر روی خطوط موازی با Δ_1 و Δ_3 قرار دارد و راستای شتاب a_E در راستای لغزنده می‌باشد. همچنین نسبت شتاب مماسی a'_{CE} به a'_{DE} نسبت CE/DE می‌باشد. برای رسم نمودار شتاب، روش پیدا کردن امتدادها با حالت قبل تفاوت دارد. البته در ترسیم نمودار شتاب، مانند حالت سرعت، مکان هندسی انتهای بُردار شتاب مطلق مفصلها را در عضو شناور بلافاصله می‌توان بدست آورد، ولی به علت اینکه شتاب زاویه‌ای عضو شناور مشخص نشده است، امتداد شتاب نسبی مفصلها در عضو شناور مشخص نیست، بنابراین مسأله مهم این است که راستای Δ را مانند حالت سرعت به سادگی نمی‌توان معین نمود. برای اینکه بتوانیم امتدادهای واقعی را مشخص کنیم باید به جای اینکه Δ را در امتداد نامعلوم شتاب نسبی نقاط لولا انتخاب کنیم، در امتداد معلوم شتاب مماسی نسبی که معلوم می‌باشد بوده و در امتداد عمود بر عضو شناور است انتخاب نمائیم، لذا با این انتخاب امتدادهای Δ_1 و Δ_3 نیز تغییر می‌نماید، و این خطوط مکان هندسی انتهای بُردار شتاب مطلق مفصل نخواهد بود، بلکه راستایی موازی با امتدادهای Δ_1 و Δ_3 و مکان هندسی مبدأ بُردار شتاب مماسی نسبی مفصلها در عضو شناور می‌باشد. برای تعیین نمودن این راستای جدید، روش بر این است که چند نقطه دلخواه روی مکان هندسی انتهای بُردار شتاب مطلق مفصل انتخاب نموده و از این نقاط دلخواه شتابهای مرکزی نسبی مفصل را نسبت به هم رسم می‌کنیم. از انتهای بُردار شتاب مرکزی نسبی، خطوطی به موازات مکان انتهای بُردار شتاب مطلق مذکور رسم می‌کنیم، در نتیجه خطوط جدید Δ_1 و Δ_3 بدست می‌آیند. خطوط Δ_1 و Δ_3 در نمودار شتاب این راستاهای جدید هستند، و مبدأ بُردار شتابهای مماس نسبی روی عضو شناور می‌باشند. دلیل آن این است که شتاب زاویه‌ای نامعلوم اعضاء متصل به عضو شناور هرچقدر هم که باشد (نقاط دلخواه) باز مبدأ بُردار شتاب مماسی نسبی، همان Δ_1 و Δ_3 جدید باقی می‌ماند.

در مکانیزم شکل ۱، برای نقطه C داریم:

$$\vec{a}_B^n + \vec{a}_B^t + \vec{a}_{DB}^n + \vec{a}_{DB}^t + \vec{a}_{ED}^n + \vec{a}_{ED}^t = \vec{a}_E$$

نهایتاً مقادیر $\alpha_1, \alpha_2, \alpha_3, \alpha_4$ از روابط برداری بدست می آیند.

$$\vec{a}_C = \vec{a}_A + \vec{a}_{CA}^n + \vec{a}_{CA}^t$$

لذا از انتهای \vec{a}_A بردار معلوم \vec{a}_{CA}^n و سپس امتداد \vec{a}_{CA}^t را رسم می نمایم. مکان هندسی شتاب مطلق نقطه C روی این امتداد (موازی با Δ_1) می باشد. برای نقطه D داریم:

$$\vec{a}_D = \vec{a}_B + \vec{a}_{DB}^n + \vec{a}_{DB}^t$$

از انتهای \vec{a}_B بردار معلوم \vec{a}_{DB}^n و سپس امتداد \vec{a}_{DB}^t را رسم می کنیم. مکان هندسی شتاب مطلق نقطه D روی این امتداد (موازی با Δ_3) می باشد. حال می توانیم امتدادهای Δ_1 و Δ_3 را مشخص نمایم. بدین طریق که بر امتداد \vec{a}_{CA}^n نقطه ای دلخواه انتخاب کرده و از آن برداری همسنگ با \vec{a}_{EC}^n رسم کنیم. از انتهای \vec{a}_{EC}^n و برداری موازی با \vec{a}_{CA}^t رسم می کنیم. امتداد Δ_1 در نمودار شتاب بدست می آید که مبدأ بردار \vec{a}_{EC}^t خواهد بود. به همین روش بر امتداد \vec{a}_{DB}^n نیز نقطه ای دلخواه انتخاب کرده و از آن برداری همسنگ با \vec{a}_{ED}^n رسم می کنیم. از انتهای \vec{a}_{ED}^n خطی موازی با \vec{a}_{DB}^t رسم می کنیم و در نتیجه Δ_3 بدست می آید، که مبدأ بردار \vec{a}_{ED}^t خواهد بود و همان مکان هندسی رأس بردار باقی می ماند. حال با توجه به ضمیمه شماره ۱، شتابهای مماسی نسبی را که در راستای Δ و عمود بر عضو شناور می باشند، بدست می آوریم که به ترتیب نقاط c' ، e و d' در شکل می باشند. پس از ترسیم دو عمود بر این شتابهای مماسی نسبی (منظور \vec{a}_{EC}^n و \vec{a}_{ED}^n) و به دست آوردن نقاط تقاطع با امتدادهای \vec{a}_{CA}^t و \vec{a}_{DB}^t می توان این دو شتاب مماسی نسبی را که در ابتدا به دلخواه انتخاب کرده بودیم محاسبه نمود و نمودار شتاب را تکمیل کرد.

در ترسیم نمودار شکل ۴، ابتدا Δ_1, Δ_3 و Δ_4 مشخص شده است. با انجام عملیات هندسی بر روی نمودار، بر طبق ضمیمه شماره ۱، نقاط c' و e و d' با توجه به اینکه نسبت $CE/ED = a/b$ در نظر گرفته شده است، بدست آمده اند. پس از یافتن نقاط c' و d' و e رسم نمودار شتاب تکمیل شده است. در شکل ۴ داریم:

$$\vec{a}_A^n + \vec{a}_A^t + \vec{a}_{CA}^n + \vec{a}_{CA}^t + \vec{cc}' + \vec{c'e} = \vec{O}_e$$

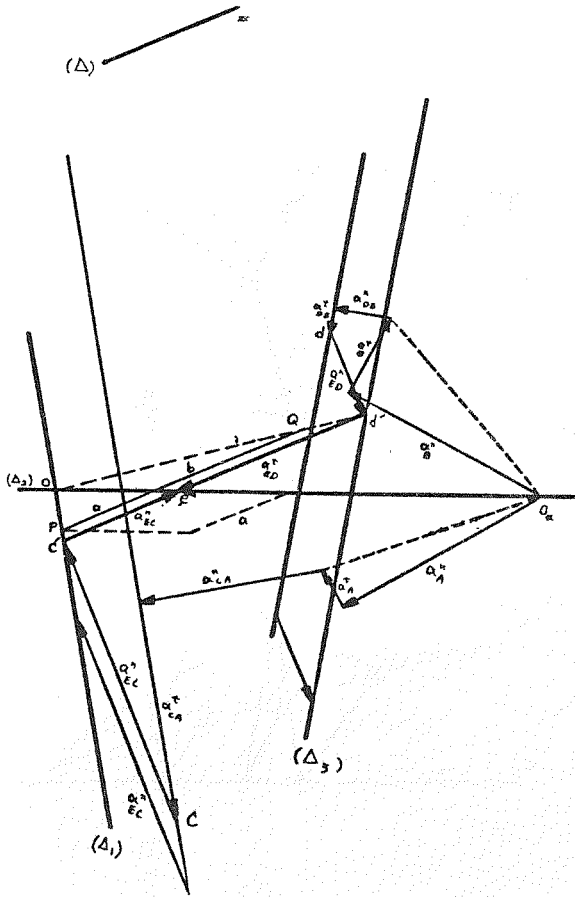
که اگر بجای بردارهای \vec{cc}' ، $\vec{c'e}$ و \vec{O}_e بردارهای مساوی آنها یعنی \vec{a}_{EC}^n و \vec{a}_{EC}^t را جایگزین کنیم داریم:

$$\vec{a}_A^n + \vec{a}_A^t + \vec{a}_{CA}^n + \vec{a}_{EC}^n + \vec{a}_{EC}^t = \vec{a}_E$$

و از طرف دیگر

$$\vec{a}_B^n + \vec{a}_B^t + \vec{a}_{DB}^n + \vec{a}_{DB}^t + \vec{dd}' + \vec{d'e} = \vec{O}_e$$

که اگر بجای بردارهای \vec{dd}' و $\vec{d'e}$ ، \vec{a}_{ED}^n و \vec{a}_{ED}^t بردارهای مساوی آنها یعنی \vec{a}_{ED}^n و \vec{a}_{ED}^t را قرار دهیم داریم:



شکل ۴

۳-۳ ترسیم نمودارهای سرعت مکانیزمهای دسته دوم:

حل هندسی این مسأله در ضمیمه شماره ۲ آمده است.

مطابق شکل ۵ مکان هندسی انتهای بردار سرعت نقاط S, R و

T را در مثلث سرعت مشخص نموده ایم، که در آنها:

مکان هندسی انتهای بردار سرعت مطلق نقطه R که عمود بر

Δ_1 است PR

مکان هندسی انتهای بردار سرعت مطلق نقطه T که عمود بر

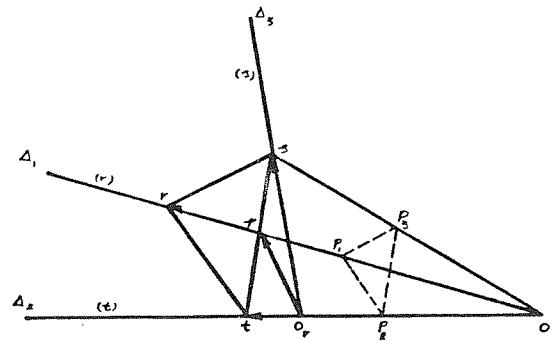
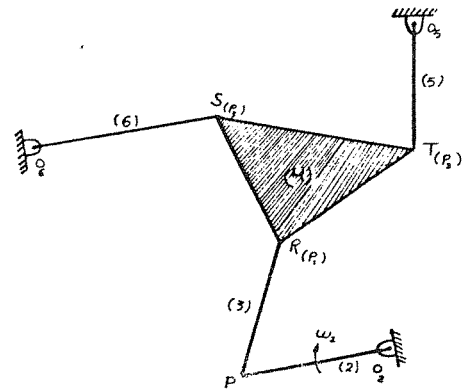
Δ_2 است O_5T

مکان هندسی انتهای بردار سرعت مطلق نقطه S که عمود بر

Δ_3 است O_6S

بنابراین دقیقاً مطابق آنچه در ضمیمه ۲ آمده است ابتدا اضلاع مثلث $P_1P_2P_3$ را عمود بر اضلاع مثلث RST رسم می نمایم

و با توجه به مثلث $P_1 P_2 P_3$ مطابق ضمیمه ۲، مثلث rst را می توان بر روی سه امتداد ذکر شده در بالا ساخت. با بدست آوردن t, s, r مسأله سرعت حل شده است.



شکل ۵

نقاط t, r, s و انتهای سرعت مطابق نقاط S, R و T می باشند.

$$\vec{O}_s P + \vec{P}_r = \vec{O}_r r \quad \text{یا} \quad \vec{v}_P + \vec{v}_{RP} = \vec{v}_R$$

$$\vec{O}_r t + \vec{t}_s = \vec{O}_s s \quad \text{یا} \quad \vec{v}_T + \vec{v}_{TP} = \vec{v}_S$$

$$\vec{O}_s s + \vec{s}_r = \vec{O}_r r \quad \text{یا} \quad \vec{v}_S + \vec{v}_{RS} = \vec{v}_R$$

که با معلوم بودن ω_2 می توان $\omega_3, \omega_4, \omega_5$ و ω_6 را محاسبه نمود.

۳-۴ ترسیم نمودار شتاب مکانیزمهای دسته دوم:

برای ترسیم دیاگرام شتاب، امتدادهای لازم را به شرح زیر بدست می آوریم:

مکان هندسی ابتدای بردار شتاب مماسی \vec{a}_{SR}^t که موازی با \vec{a}_{RP}^t بوده و عمود بر PR است $\Delta_{PR} =$

مکان هندسی ابتدای بردار شتاب مماسی \vec{a}_{ST}^t که موازی با $\Delta_{OST} =$ بوده و عمود بر $O_s T$ است $O_s T =$
مکان هندسی انتهای بردار شتاب مطلق نقطه S می باشد که عمود بر $O_s S$ است $\Delta_3 =$

بعد از مشخص شدن سه مکان هندسی، دقیقاً مطابق ضمیمه ۲ اضلاع مثلث $P_1 P_2 P_3$ را عمود بر اضلاع عضو RTS رسم نموده و سپس مثلث $t' s' r'$ را می سازیم. رئوس t', s' و r' به ترتیب بر روی خطوط Δ_1 و Δ_2 و Δ_3 قرار دارند. بعد از بدست آوردن t', s' و r' از نقاط t' و r' دو عمود بر امتدادهای st' و $r's'$ می آوریم که به ترتیب همان \vec{a}_{ST}^n و \vec{a}_{SR}^n می باشند و لذا نمودار شتاب به این صورت نوشته می شود:

$$\vec{a}_s^n + \vec{a}_s^t = \vec{a}_P^n + \vec{a}_{RP}^n + \vec{a}_{RP}^t + \vec{a}_{SR}^n + \vec{a}_{SR}^t$$

$$\vec{a}_s^n + \vec{a}_s^t = \vec{a}_T^n + \vec{a}_T^t + \vec{a}_{ST}^n + \vec{a}_{ST}^t$$

توجه شود که ما ابتدا از مکان t از نقطه ای دلخواه به اندازه \vec{a}_{ST}^n برداری رسم کرده ایم و سپس از انتهای \vec{a}_{ST}^n موازی با مکان هندسی نقطه Δ_2, t را رسم نموده ایم و نیز از نقطه ای دلخواه بر روی مکان هندسی نقطه r برداری به اندازه \vec{a}_{SR}^n رسم نموده ایم و سپس به موازات مکان هندسی r از انتهای \vec{a}_{SR}^n خطی به موازی مکان هندسی مذکور رسم نموده و آن را Δ_1 می نامیم. بعد از بسته شدن نمودار شتاب، مقادیر $\alpha_4, \alpha_3, \alpha_6$ و α_5 بدست می آید.

۴- نتیجه گیری

در این مقاله، روشی نوین برای تحلیل سینماتیکی مکانیزمهای شناور بدون استفاده از نقطه کمکی ارائه گردید. چهار نمودار سرعت و شتاب مربوط به دو مکانیزم با استفاده از این روش ترسیم شد. حل هندسی مسایل نیز در ضمیمه مقاله ارائه گردیده است.

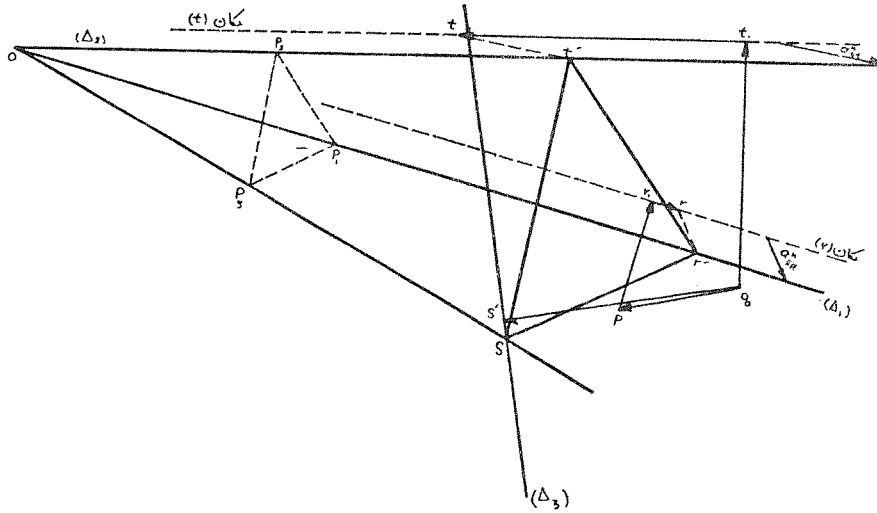
۵) ضمائم:

ضمیمه ۱: سه امتداد Δ_1, Δ_2 و Δ_3 مفروضند، خطی به موازات امتدادی مانند Δ چنان رسم کنید که سه امتداد Δ_1, Δ_2 و Δ_3 را قطع نموده و در نقاط تقاطع ۱، ۲ و ۳ به نسبت a/b تقسیم شود.

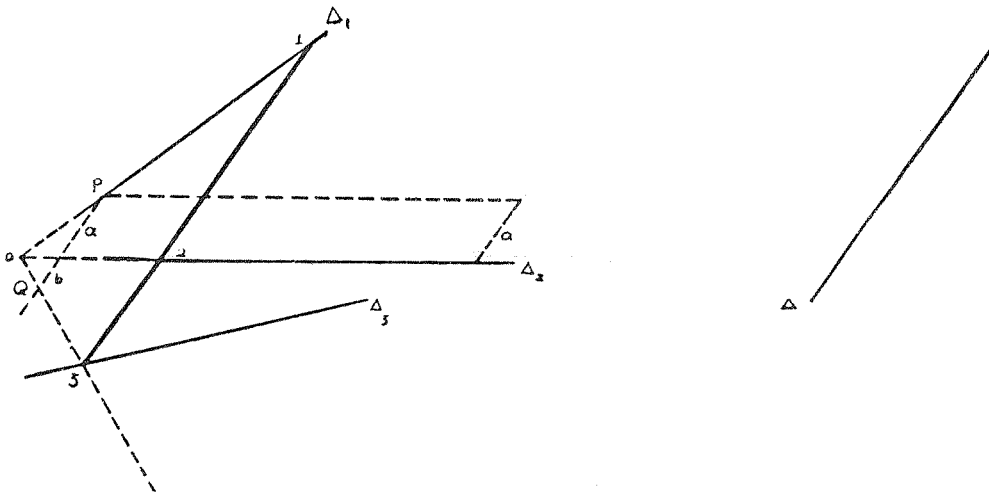
حل - مطابق شکل می توانیم Δ_1 و Δ_2 را امتداد دهیم تا در نقطه O یکدیگر را قطع کنند. از روی Δ_2 به موازات Δ پاره خطی به اندازه α رسم می کنیم و از انتهای آن به موازات Δ_1 خطی رسم می کنیم تا Δ_3 را قطع کند. از نقطه P خطی به موازات Δ رسم می کنیم تا Δ_2 را قطع کند، روی همین امتداد به اندازه b جدا نموده و آن را Q نام می گذاریم. از O به Q وصل

کند، از نقطه P_1 مجدداً عمودی بر ضلع P_1P_3 فرود آورده و از نقطه P_2 عمودی بر ضلع P_2P_3 فرود می آوریم. این دو عمود یکدیگر را در P_3 قطع می کنند. مثلث $P_1P_2P_3$ بر مثلث $P_1P_2P_3$ عمود است. حال از O به P_2 وصل کرده و امتداد می دهیم تا Δ_2 را در نقطه A_3 قطع کند. از 3 به موازات P_2P_1 خطی رسم می کنیم تا Δ_1 را در 1 قطع کند. از 3 به موازات P_2P_2 خطی رسم می کنیم تا Δ_2 را در نقطه 2 قطع کند مثلث 123 جواب منحصر بفرد مسأله است.

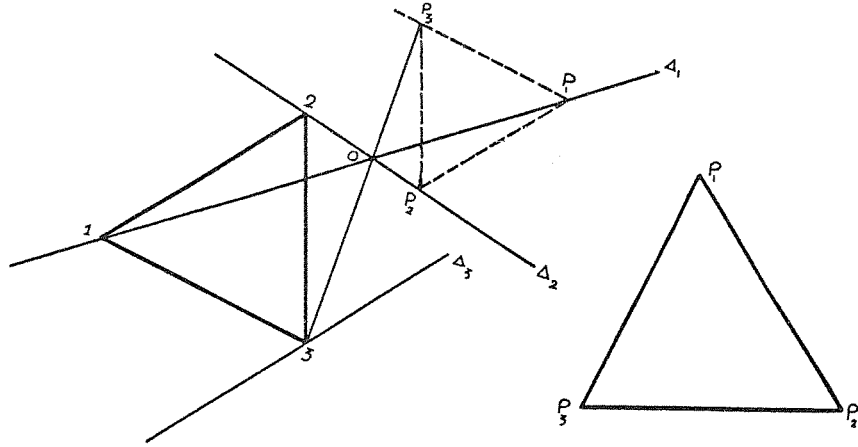
می کنیم تا Δ_3 را در 3 قطع کند. از 3 به موازات Δ رسم می کنیم تا Δ_2 را در 2 و Δ_1 را در 1 قطع کند، پاره خط 13 جواب مسأله است.
ضمیمه ۲: سه امتداد Δ_1 و Δ_2 و Δ_3 مفروضند. به ترتیب نقاط 1 ، 2 و 3 را روی این سه امتداد چنان انتخاب کنید که مثلث تشکیل شده 123 بر مثلث مفروض $P_1P_2P_3$ عمود باشد.
حل: ابتدا Δ_1 و Δ_2 را امتداد می دهیم تا یکدیگر را در نقطه O قطع کنند. بر روی Δ_1 نقطه P_1 را انتخاب می کنیم از آن عمود P_1P_2 را بر ضلع P_1P_2 فرود می آوریم تا Δ_2 را در P_2 قطع



شکل ۶



شکل ض - ۱



شکل ض-۲

منابع:

1. Maxwell, R. L., Kinematics and Dynamics of Machinery, Prantice Hall . Inc., 1966, PP 92-97 and 120-122.
2. Holowenko, A.R., Dynamics of machinery, John Wiley and Sons, PP 118-125.
3. Billings, J. H., Applied Kinematics for Students, and Mechanical Designers, Third Edition 1958, P 77.

